$K_{20}Ga_6Sb_{12,66}$ und $K_{20}Ga_6As_{12,66},$ Verbindungen mit zu $B_3O_6{}^{3-}$ isostrukturellen Anionen $Ga_3Sb_6{}^{9-}$ und $Ga_3As_6{}^{9-}$

 $K_{20}Ga_6Sb_{12.66}$ and $K_{20}Ga_6As_{12.66}$, Compounds with $Ga_3Sb_6^{\ 9^-}$ - and $Ga_3As_6^{\ 9^-}$ -Anions Isostructural to $B_3O_6^{\ 3^-}$

Gerhard Cordier* und Harald Ochmann

Eduard-Zintl-Institut der Technischen Hochschule Darmstadt, Abteilung Anorganische Chemie II, Hochschulstraße 10, D-6100 Darmstadt

Z. Naturforsch. 45b, 277-282 (1990); eingegangen am 5. Oktober 1989

Crystal Structure, Zintl Phases

The compounds $K_{20}Ga_6Sb_{12.66}$ and $K_{20}Ga_6As_{12.66}$ have been prepared from the elements and the crystal structures were determined by single crystal X-ray diffraction a=1780.0(5), (1678.0(5)) pm, c=543.8(2), (524.5(2)) pm, P_{63}/m , Z=4. The structures contain oligomeric anions $Ga_3As_6^{9-}$ and $Ga_3Sb_6^{9-}$, which are isoelectronic to $B_3O_6^{3-}$.

Einleitung

Die Oxoanionen der Erdmetalle enthalten das Zentralatom in der bevorzugten Koordinationszahl vier. Nur beim Bor wird auch eine kleinere Koordinationszahl mit trigonal planarer Anordnung beobachtet. Mit der Darstellung von $K_{20}Ga_6Sb_{12,66}$ und $K_{20}Ga_6As_{12,66}$ gelang es uns nun, durch isosteren Ersatz von Sauerstoff durch Asbzw. Sb- die oligomeren, dreikernigen Anionen $Ga_3As_6^{9-}$ und $Ga_3Sb_6^{9-}$ zu erhalten. Die Galliumatome sind hier trigonal planar koordiniert.

Darstellung

Zur Darstellung der Verbindungen

K₂₀Ga₆Sb_{12,66} und K₂₀Ga₆As_{12,66} wurden Gallium und Antimon bzw. Arsen in stöchiometrischen Verhältnissen mit einem geringen Überschuß an Kalium unter Argon in einer Handschuhbox in vorgetrocknete Korundtiegel eingewogen. Die Proben wurden unter Schutzgas langsam mit 100 K/h auf 570 K aufgeheizt und bei dieser Temperatur *ca.* 2 Stunden belassen. Danach wurde mit gleicher Rate auf 1300 K erhitzt, wobei überschüssiges Kalium aus dem System abdampft. Die Antimonverbindung wurde mit 100 K/h, die Arsenverbindung mit 50 K/h auf Raumtemperatur abgekühlt. Es entstanden kompakte Reguli, die im Falle der Antimonverbindung rötlich durchscheinende Leisten enthielten. Beide Verbindungen werden an

Strukturbestimmungen

Drehkristall- und Weißenberg- (CuK_a) sowie Buerger-Präzessionsaufnahmen (MoKa) zeigten für beide Verbindungen ein primitives Gitter hexagonaler Symmetrie der Laueklasse 6/m mit der serialen Interferenzbedingung: Reflexe (000l) nur vorhanden für l = 2n. Damit sind die Raumgruppen P63 und P63/m verträglich. Länger belichtete Aufnahmen mit monochromatischer Strahlung lieferten keine Hinweise auf das Vorliegen von Überstrukturen. Die Gitterkonstanten wurden mit automatischen Vierkreisdiffraktometer (Philips PW1100, MoKa, Graphitmonochromator) aus den Winkelwerten von jeweils 25 ausgewählten Reflexen nach der Methode der kleinsten Fehlerquadrate optimiert. Für die Bestimmung der Atomkoordinaten wurden im Winkelbereich von $5^{\circ} \le 2\theta \le 60^{\circ}$ im Falle der Antimonverbindung die Intensitäten von 3070 Reflexen und im Falle der Arsenverbindung im Winkelbereich $5^{\circ} \le 2\theta \le 55^{\circ}$ die Intensitäten von 2578 Reflexen vermessen ($\theta/2\theta$ -scan). Die Absorption wurde in beiden Fällen durch eine der Kristallgestalt angenäherte Polyederkorrektur berücksichtigt. Nach den üblichen winkelabhängigen Korrekturen und

Verlag der Zeitschrift für Naturforschung, D-7400 Tübingen 0932-0776/90/0300-0277/\$ 01.00/0

feuchter Luft innerhalb von Sekunden vollständig hydrolysiert und reagieren mit Wasser explosionsartig. Die Proben wurden daher unter Schutzgas geöffnet, die erhaltenen Reguli zerkleinert und unter schweres, getrocknetes Paraffinöl gebracht, wodurch sie für kurze Zeit auch ohne Inertgasatmosphäre zu handhaben waren.

^{*} Sonderdruckanforderungen an Dr. Gerhard Cordier.

der Mittelung über symmetrieäquivalente Reflexe verblieben 1044 unabhängige F²-Werte mit F² > $3\sigma(F^2)$ für $K_{20}Ga_6Sb_{12,66}$ bzw. 762 für $K_{20}Ga_6As_{12,66}$. Die Lösung der Struktur von $K_{20}Ga_6Sb_{12,66}$ gelang in der zentrosymmetrischen Raumgruppe $P6_3/m$ über statistische Phasenbe-

stimmungsmethoden [1] mit nachfolgenden Fourier- und Differenzfouriersynthesen [2] und führte in diesem Stadium der Strukturbestimmung zu einer Stöchiometrie K₂₀Ga₆Sb₁₂. Da nach den Gitterkonstanten (Tab. I), der Symmetrie und dem Verlauf der Reflexintensitäten die Arsenverbin-

Tab. I. Kristallographische Daten, Angaben zur Strukturbestimmung sowie Lage- und thermische Parameter von $K_{20}Ga_6Sb_{12,66}$ und $K_{20}Ga_6As_{12,66}$ [12]. (In Klammern die Standardabweichungen für die letzten angegebenen Stellen, U-Werte in pm². Der anisotrope Temperaturfaktor ist definiert als: $\exp[-2\pi^2[(ha^*)^2U_{11} + ... + 2hka^*b^*U_{12} + ...]]$.)

```
Vierkreis Philips PW 1100, MoK<sub>a</sub>-
Diffraktometer:
                                  Strahlung, Graphitmonochromator
                                  hexagonal, Raumgruppe P6<sub>3</sub>/m, Nr. 176
Kristallsystem:
                                  jeweils aus den Winkelwerten von 25 aus-
Gitterkonstanten [pm]:
                                  gewählten, zentrierten Reflexen nach der
                                  Methode der kleinsten Fehlerquadrate
                                  K<sub>20</sub>Ga<sub>6</sub>Sb<sub>12,66</sub>
                                                            K_{20}Ga_6As_{12.66}
                                                            1678,0(5)
                                  a = 1780,0(5)
                                                              524,5(2)
                                  c = 543.8(2)
                                    = 1492,14
                                                             1278,97
V [10^6 \, pm^3]
                                                                2,79
                                          3.05
Dichte (rö) [g/cm<sup>3</sup>]
Zahl der Formeleinheiten
                                                            0.2 \cdot 0.1 \cdot 0.1
                                  0.05 \cdot 0.2 \cdot 0.1
Kristallgröße (mm):
                                                    \theta/2\theta
Abtastverfahren:
Reflexe (5^{\circ} \le 2\theta \le 60^{\circ}55^{\circ}):
                                  1529
                                                             1356
Zahl der Reflexe,
                                                             594
                                  485
  F^2 \leq 3\sigma(F^2):
Zahl der verfeinerten
                                                      41
  Parameter:
                                       Absorption, Polarisation, Lorentz
Korrekturen:
                                       Flächenabsorptionskorrektur [2]
Absorptionskorrektur:
                                  98.5
                                                             134.5
\mu(MoKa) [cm<sup>-1</sup>]:
                                                               0,10
R-Wert:
                                    0,09
Benutzte Programme
                                                 MULTAN 78 [1]
Lösung der Struktur:
                                                  SHELX 76 [2]
Verfeinerung der Struktur:
```

Quelle der zur Rechnung

verwendeten Atomformfaktoren: International Tables

	$K_{20}C$	$Ga_{6}Sb_{12,66}$	$K_{20}Ga_6As_{12,66}$		$K_{20}C$	Ga ₆ Sb _{12,66}	$K_{20}Ga_6As_{12.66}$
2 K 1 auf 2c	\mathcal{X}	= 1/3	1/3	6 K 3 auf 6h	χ	= 0.2732(5)	0,2774(5)
	y	= 2/3	2/3		v	= 0.8801(5)	0,8850(5)
	Z	= 1/4	1/4		Z	= 1/4	1/4
	U_{11}	=410(47)	319(42)		U_{11}	= 345(40)	372(42)
	U22	=410(47)	319(42)		U_{22}	= 347(40)	305(37)
	U_{33}^{22}	= 276(76)	388(75)		U_{33}^{22}	= 255(43)	200(32)
	U_{12}	= 205(24)	159(21)		U_{12}	= 159(34)	184(35)
		$U_{23} = U_{13} = 0$			$U_{23} = U_{13} = 0$		
6 K 2 auf 6 h	χ	= 0,5480(5)	0,5470(5)	6 K 4 auf 6 h	X	= 0.8058(8)	0,8045(7)
	y	= 0.9355(5)	0,9368(5)		y	= 0.9935(7)	0,9907(6)
	Z	= 1/4	1/4		Z	= 1/4	1/4
	U_{11}	= 379(40)	320(38)		\mathbf{U}_{11}	= 597(64)	584(60)
	U_{22}	= 301(36)	216(34)		U_{22}	= 365(48)	338(45)
	U_{33}	= 231(39)	219(32)		U_{33}	= 573(68)	522(56)
	U_{12}	= 228(33)	102(31)		U_{12}	= 160(46)	158(44)
	$\dot{\mathbf{U}}_{23} = \mathbf{U}_{13} = 0$ $\dot{\mathbf{U}}_{23} = \mathbf{U}_{13} = 0$				=0		

```
6 Ga I auf 6h
                              = 0.5036(2)
                                                 0.5054(2)
                                                                6 Sb2 (As2) auf 6h
                                                                                             \chi
                                                                                                    = 0.3414(1)
                                                                                                                       0.3455(2)
                       X
                                                                                                                       0,1179(2)
                              = 0.2236(2)
                                                0,2248(2)
                       y
                                                                                              y
                                                                                                    = 0.1139(1)
                              = 1/4
                                                 1/4
                                                                                              z
                                                                                                    = 1/4
                                                                                                                       1/4
                                                                                             U_{11}
                              = 165(15)
                                                 162(15)
                                                                                                    = 187(9)
                                                                                                                       160(14)
                       U_{22}
                                                                                             U_{22}
                                                                                                    = 212(10)
                                                                                                                       175(15)
                              = 197(15)
                                                 176(16)
                       U_{33}
                                                                                             U_{33}
                              = 222(16)
                                                 131(14)
                                                                                                    = 225(11)
                                                                                                                       223(15)
                                                                                              U_{12}
                                  77(13)
                                                  67(13)
                                                                                                        76(8)
                                                                                                                         45(12)
                                    U_{23} = U_{13} = 0
                                                                                                           U_{23} = U_{13} = 0
                              = 0.6113(1)
                                                                                                                           0
6 Sb1 (As1) auf 6h
                                                0.6116(2)
                                                                0,66(2) Sb3 (As3) auf 2b
                                                                                                           0
                                                                                                                           0
                              = 0.1627(1)
                                                0,1656(2)
                                                                                                           0
                                                                                                                           0
                              = 1/4
                                                 1/4
                                                                                             U_{11}
                       U_{11}
                              = 183(9)
                                                 189(14)
                                                                                                           6(21)
                                                                                                                       -251(20)
                                                                                                                       -251(20)
                       U_{22}
                                                                                             U_{22}
                              = 159(9)
                                                 148(14)
                                                                                                           6(21)
                                                                                              U_{33}
                                                                                                                       1948(250)
                              = 269(11)
                                                 239(15)
                                                                                                    = 3535(306)
                       U_{33}
                       U_{12}^{33}
                                  86(8)
                                                  97(12)
                                                                                                           3(10)
                                                                                                                       -125(10)
                                    U_{23} = U_{13} = 0
                                                                                                           U_{23} = U_{13} = 0
```

dung als zu K₂₀Ga₆Sb_{12.66} isotyp angenommen werden konnte, wurden hier die Atomparameter der Antimonverbindung als Startwerte zur Strukturverfeinerung benutzt. Differenzfouriersynthesen lieferten in beiden Fällen Restelektronendichten in 0,0,0 bzw. 0,0,1/2 (Lage 2b), die für die Antimonverbindung mit 17 e/Å³ höher lagen als für die Arsenverbindung mit 10 e/Å³. Aus chemischen Überlegungen (siehe Diskussion) und in Übereinstimmung mit den Rechnungen folgte, daß diese Maxima von Sb- bzw. As-Atomen herrühren, die die Lage 2b statistisch zu 1/3 besetzen. Der Zuverlässigkeitsfaktor verbesserte sich bei entsprechender Behandlung der Antimonverbindung signifikant um 0,041 und um 0,059 im Falle der Arsenverbindung. Alle Atomparameter wurden nach der Methode der kleinsten Fehlerquadrate optimiert, wobei die Temperaturfaktoren aller Atome anisotrop behandelt wurden. Dabei zeigte sich, daß in beiden Fällen für die Atome der statistisch besetzten Lage 2b neben sehr kleinen Werten von U_{11} und U_{22} ein extrem hoher Wert für U_{33} erhalten wird. Ein Schnitt durch die Fouriersynthese bei x = 0 zeigt in z-Richtung für diese Lage keine voneinander getrennten Elektronendichtemaxima. Da jedoch bis zu 4 Tage belichtete Drehkristallaufnahmen (s.o.) mit monochromatischer Strahlung (MoK_a) weder Überstrukturreflexe noch diffuse Streuung zeigten, die zu einer Vervielfachung der Elementarzelle in c führen würden, wurde die Verfeinerung des Strukturmodells bei diesem Stand

belassen, zumal auch Splitmodelle keine Verbesserung brachten. Die relativ hohen Werte der Richtigkeitsquotienten von .09 ($K_{20}Ga_6Sb_{12.66}$) und .10 ($K_{20}Ga_6As_{12.66}$) sind auf die beginnende Zersetzung während der Messung und die dadurch unvollständig korrigierte Absorption zurückzuführen. In Tab. I sind die Ergebnisse zusammengefaßt.

Strukturbeschreibung und Diskussion

den Verbindungen K₂₀Ga₆Sb_{12,66} K₂₀Ga₆As_{12,66} (Abb. 1) werden alle Galliumatome trigonal planar von 3 Sb(As)-Atomen im Bereich von 255,2 pm bis 263,2 pm (236,7 pm bis 244,2 pm) umgeben, die Winkel liegen zwischen 117,9° und 124,6° bzw. 117,3° und 123,9° (Tab. II). Je drei dieser GaSb₃(GaAs₃)-Einheiten werden über gemeinsame Sb(As)-Atome zu ebenen Sechsringen verbunden. Die Abstände im Ring stimmen mit 261,9 pm und 263,2 pm (243,6 pm und 244,2 pm) sehr gut mit der Summe der kovalenten Tetraederradien von 262 pm (244 pm) nach Pauling [3] überein. Der Abstand zu den terminalen Sb(As)-Atomen ist mit 255,2 pm (236,7 pm) deutlich kürzer als die Summe der kovalenten Tetraederradien, es errechnet sich nach Pauling [3] ein Bindungsgrad von 1,27 (1,29). Dieser hohe Bindungsgrad deutet auf das Vorliegen von Doppelbindungsanteilen und macht damit die ungewöhn-

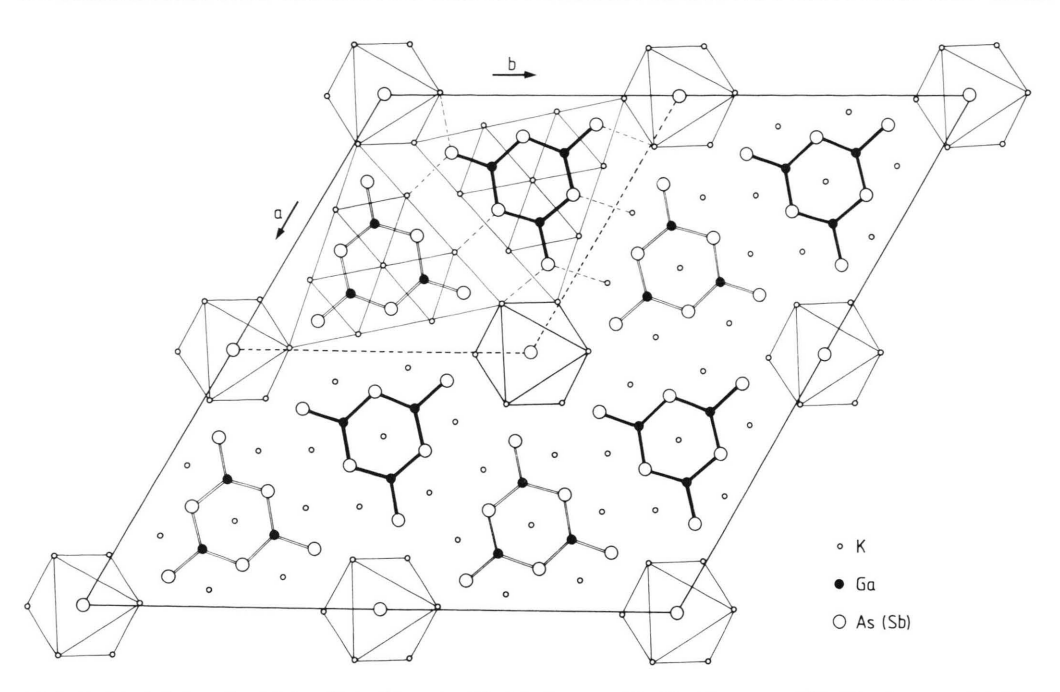


Abb. 1. Projektion der Kristallstruktur der Verbindungen $K_{20}Ga_6Sb_{12,66}$ und $K_{20}Ga_6As_{12,66}$ mit Blickrichtung entlang [001]. Unterschiedliche Strichstärken markieren die um 1/2 in c versetzten Anionen. Die Verbindungslinien zwischen den K-Atomen dienen zur Verdeutlichung der Oktaeder und trigonalen Prismen. Die Elementarzelle sowie die an Sb2 zusätzlich koordinierten K-Atome (s. Text) sind mit unterbrochenen Linien hervorgehoben.

liche trigonal-planare Koordination an den Galliumatomen verständlich.

Die Kaliumatome bilden trigonale Prismen, von denen jeweils sechs über gemeinsame Flächen zu großen, hexagonalen Säulen längs [001] verknüpft sind, an die drei weitere Prismensäulen über gemeinsame Flächen geknüpft sind. Alle Zentren dieser trigonalen Prismen werden von den Atomen des Ga₃Sb₆⁹⁻-Anions besetzt. In der Elementarzelle sind zwei dieser Säulen um 1/2 in Richtung [001] gegeneinander versetzt. Dadurch erhalten die verbrückenden Sb(As)-Atome ein, die endständigen Sb(As)-Atome zwei zusätzliche Kaliumatome (361,5 (342,8) pm; 366,6 (351,0) und 370,7 (348,0) pm) über den Prismenflächen ihrer Koordinationspolyeder, und es werden um den Nullpunkt der Elementarzelle verzerrte Kaliumoktaeder gebildet. Diese sind über gemeinsame Flächen zu Strängen in Richtung [001] verknüpft, und enthalten in ihren Zentren die fehlgeordneten Sb³-- Ionen (1/3-Besetzung). In Abb. 1 sind diese Oktaeder wie auch die Prismensäulen zur Verdeutlichung eingezeichnet.

Trigonal planare Koordination um Ga-Atome findet man auch in den Verbindungen K2GaSb2 [4], Rb₂GaAs₂ [5] und Cs₂GaSb₂ [6]. Hier werden die GaAs3- bzw. GaSb3-Einheiten jedoch über As-As-Bindungen und gemeinsame As- bzw. Sb-Atome weiter verknüpft. Dagegen zeigen die Strukturen entsprechender Natriumverbindungen benachbarter Stöchiometrie, Na₇Ga₂Sb₅ und Na₃InAs₂, tetraedrische Ga- bzw. In-Koordination. Ebenso findet man in vergleichbaren Erdalkaliverbindungen wie z. B. Ca₅Ga₂Sb₆, Ba₃GaSb₃ oder Sr₃In₂As₄ [7] ausschließlich tetraederisch koordinierte Erdmetallatome. Die trigonal planare Koordination der Galliumatome scheint damit durch ein großes Radienverhältnis Alkali/Element(V) und Alkali/Erdmetall begünstigt zu werden. Daneben trägt offensichtlich auch

Tab. II. Wichtige Atomabstände (pm) und Bindungswinkel (°) in den Kristallstrukturen der Verbindungen K₂₀Ga₆Sb_{12.66} und K₂₀Ga₆As_{12.66}. Die maximalen Standardabweichungen für die Abstände betragen für K – K: 2,1 pm, K – Ga: 1,5 pm, K – Sb: 1,2 pm, K – As: 1,2 pm, Ga – As: 0,5 pm, Ga – Sb: 0,4 pm, die Standardabweichungen für Winkelangaben betragen maximal 0,3°.

K ₂₀ Ga ₆ Sb _{12,66} Atomabstände/V	Vinkel	K ₂₀ Ga ₆ As _{12,66} Atomabstände/Winkel			
Ga1-Sb2	255,2	Ga 1 – As 2			
-Sb1	261,9	– As 1			
-Sb1	263,2	– As 1			
Sb2-Ga1-Sb1	117,9	As 2 – Ga 1 – As 1			
Sb2-Ga1-Sb1	117,6	As 2 – Ga 1 – As 1			
Sb1-Ga1-Sb1	124,6	As 1 – Ga 1 – As 1			
Sb1-Ga1	261,9	As 1 – Ga 1	243,6		
-Ga1	263,2	– Ga 1	244,2		
Ga1-Sb1-Ga1	115,4	Ga 1 – As 1 – Ga 1	116,1		
Sb2-Ga1	255,2	As 2-Ga 1	236,7		
K 1 – Ga 1	373,6 6×	K 1 – Ga 1	354,7 6×		
– Sb 1	382,0 6×	– As 1	361,2 6×		
K 2-Sb 1	361,5	K 2-As 1	342,8		
-Sb 1	367,9 2×	-As 1	351,3 2×		
-Ga 1	369,5 2×	-Ga 1	355,2 2×		
-Sb 2	371,1 2×	-As 2	355,4 2×		
-K 4	417,0	-K 4	394,7		
K 3-Sb2	369,7 2×	K 3-As2	354,3 2×		
-Sb2	370,7	-As2	348,0		
-Sb1	371,0 2×	-As1	355,7 2×		
-Ga1	371,2 2×	-Ga1	359,5 2×		
K 4-Sb 2	359,2 2×	K4-As2	345,6 2×		
-Sb 3	366,2 2×	-As3	346,3 2×		
-Sb 2	366,6	-As2	351,0		
-K 2	417,0	-K2	394,7		

der Verband trigonaler Prismen von Kationen zur Stabilisierung der planaren Baugruppen bei, denn vergleichbare Koordinationen finden sich auch in den Strukturen der erst kürzlich charakterisierten Verbindungen Cs₅SiP₃ und Cs₅SiAs₃ sowie ihrer Ge-Homologen, in denen isolierte trigonal planare SiX₃⁵⁻-Anionen (X = P, As) vorliegen [8].

Die Verbindungen $K_{20}Ga_6Sb_{12,66}$ ($K_{20}Ga_6As_{12,66}$) lassen sich mit der Formulierung $20~K^+ + 2~[Ga_3Sb_6]^{9^-} + 2/3~Sb^{3^-}$ als elektrovalente Verbindungen auffassen und den Zintlphasen zuordnen. Die $Ga_3Sb_6^{9^-}$ -($Ga_3As_6^{9^-}$)-Anionen sind isoster zu den Anionen der α -Metaborsäure [9] sowie den Metathioboratanionen von $Na_3B_3S_6$ und $K_3B_3S_6$ [10, 11].

Herrn Prof. Dr. R. Kniep danken wir für anregende Diskussionen, der Deutschen Forschungsgemeinschaft, dem Fonds der Chemischen Industrie sowie der Vereinigung von Freunden der Technischen Hochschule Darmstadt für Ihre finanzielle Unterstützung.

- [1] P. Main, S. E. Lessinger, G. Germain, J.-P. Declercq und M. M. Woolfson, University of York (England) (1978), unveröffentlicht in Verbindung mit T. Debaerdemaeker und M. M. Woolfson, Acta Crystallogr. A 39, 193 (1983).
- [2] SHELX-76: G. M. Sheldrick, SHELX-76 Programmsystem, Univ. Cambridge, Cambridge (England) (1976), unveröffentlicht.
- [3] L. Pauling, Die Natur der Chemischen Bindung, Verlag Chemie, Weinheim (1964).
- [4] G. Cordier, H. Ochmann und H. Schäfer, J. Less-Common Met. 119, 291 (1986).
- [5] Publikation, in Vorbereitung.
- [6] G. Cordier, H. Ochmann und H. Schäfer, III. European Conference on Solid State Chemistry, Regensburg 29. 5.–31. 5. 1986.
- [7] G. Cordier, H. Schäfer und M. Stelter, Z. Naturforsch. 41b, 1416 (1986); G. Cordier, H. Schäfer

- und M. Stelter, Z. Naturforsch. **40b**, 1100 (1985); G. Cordier, H. Schäfer und M. Stelter, Z. Naturforsch. **40b**, 5 (1985).
- [8] B. Eisenmann, J. Klein und M. Somer, Angew. Chem. 102, 92 (1990).
- [9] W. H. Zachariasen, Acta Crystallogr. 7, 305 (1954);B. M. Craven, Acta Crystallogr. 20, 214 (1966).
- [10] H. Dierks, Dissertation, Univ. Kiel (1975).
- [11] B. Krebs und H. Dierks, Acta Crystallogr. **A31**, 66 (1975).
- [12] Weitere Einzelheiten zur Strukturuntersuchung können beim Fachinformationszentrum Karlsruhe, Gesellschaft für wissenschaftlich-technische Information mbH, D-7514 Eggenstein-Leopoldshafen 2, unter Angabe der Hinterlegungsnummer CSD 54264, der Autoren und des Zeitschriftenzitats angefordert werden.